

# РАССЕЯНИЕ УЛЬТРАКОРOTКОГО ИМПУЛЬСА ЭЛЕКТРОМАГНИТНОГО ИЗЛУЧЕНИЯ НА АТОМЕ В ШИРОКОМ СПЕКТРАЛЬНОМ ДИАПАЗОНЕ

*B. A. Астапенко\**

*Московский физико-технический институт  
141700, Долгопрудный, Московская обл., Россия*

Поступила в редакцию 23 июня 2010 г.

В рамках последовательного квантовомеханического подхода получено описание рассеяния ультракороткого электромагнитного импульса на атомных частицах с учетом возбуждения мишени и недипольности электромагнитного взаимодействия, справедливое в широком спектральном диапазоне. Развитый подход применен к рассеянию одно- и малоцикловых импульсов на многоэлектронном атоме и атоме водорода. Получены спектры рассеянного излучения для различных длительностей ультракороткого импульса. В высокочастотном пределе исследован относительный вклад «упругого» рассеяния одноциклового импульса на атоме водорода в зависимости от несущей частоты и угла рассеяния.

## 1. ВВЕДЕНИЕ

К настоящему времени достигнуты большие успехи в генерации ультракоротких импульсов электромагнитного поля с контролируемой формой в широком спектральном диапазоне [1–4]. В инфракрасной, видимой и далекой ультрафиолетовой областях спектра получены импульсы, длительность которых равняется периоду колебания электромагнитного поля на несущей частоте (одноцикловые импульсы). Длительность одноцикловых импульсов составляет единицы фемтосекунд в ближней инфракрасной и видимой областях и порядка сотни аттосекунд и меньше в далеком УФ-диапазоне. Такие импульсы создают основу для исследования электронной динамики с разрешением, приближающимся к одной атомной единице времени (24 ас). В терагерцевом диапазоне генерируют полуциклические импульсы длительностью порядка пикосекунды, перспективные, в частности, для квантовых вычислений с использованием ридберговских состояний атомов [5].

Взаимодействие одно- и субциклических импульсов с веществом имеет свои характерные черты, отличные от случая многоциклических импульсов. Как известно, в случае многоциклических электромагнитных импульсов вероятность фотопроцесса не зависит от

фазы электромагнитного поля, а определяется интенсивностью и несущей частотой. Важной специфической особенностью ультракороткого взаимодействия является зависимость вероятности фотопроцесса от фазовых характеристик излучения: фазы несущей по отношению к огибающей и сдвига частоты. Эта фазовая зависимость может быть использована как для получения информации о волновых функциях атомных электронов [6], так и для фазового метода управления светоиндцированными процессами [7, 8].

Большая часть работ по исследованию взаимодействия ультракоротких импульсов с веществом посвящена фотоионизации и фотовозбуждению атомных частиц [1, 9–12]. Описание фотопроцессов в рамках теории возмущений имеет весьма ограниченную область применимости, поскольку для характерных значений интенсивности излучения, используемых в современных экспериментах, весьма велики нелинейные эффекты.

В случае рассеяния излучения на атомных частицах из-за малой величины сечения процесса теория возмущений оказывается применимой в значительно более широкой области изменения параметров, чем при фотоионизации и фотовозбуждении. Однако использование обычных формул теории возмущений, полученных в пределе длинных импульсов, в случае одно- и субциклических импульсов становится, вообще говоря, некорректным.

---

\*E-mail: astval@mail.ru

В работах [13–15] развивался метод расчета спектра рассеяния ультракороткого импульса на атомах и молекулах, базирующийся на приближении мгновенного возмущения [16]. Данный подход предполагает, что длительность электромагнитного воздействия на атом должна быть много меньше характерных времен движения атомных электронов. Такое предположение отвечает экстремально малым длительностям импульса излучения порядка единиц и долей аттосекунды, которые в настоящее время недостижимы в эксперименте.

В работе [17] рассеяние ультракороткого лазерного импульса на атоме рассматривалось в рамках классического подхода. Было получено выражение, описывающее напряженность электрического поля в рассеянном излучении через поляризацию мишени. Возбуждение мишени и недипольность электромагнитного взаимодействия в цитируемой статье не учитывались.

Целью данной работы является развитие последовательного квантовомеханического метода описания рассеяния ультракоротких импульсов на мицрочастицах с учетом возбуждения мишени и недипольности электромагнитного взаимодействия, когда неприменим традиционный подход, базирующийся на понятии средней интенсивности излучения и сечения процесса. Развитый метод используется для исследования особенностей рассеяния ультракоротких импульсов на атоме в широком спектральном диапазоне.

## 2. ОСНОВНЫЕ ФОРМУЛЫ

Рассмотрим рассеяние ультракороткого электромагнитного импульса на атоме с учетом возможного возбуждения мишени. Предполагаем, что пространственно-временная зависимость напряженности электрического поля в импульсе имеет вид

$$\mathbf{E}(t, \mathbf{r}) = \mathbf{e} E_0 g\left(t - \frac{\mathbf{n} \cdot \mathbf{r}}{c}\right), \quad (1)$$

где  $\mathbf{e}$  — единичный вектор поляризации,  $E_0$  — амплитуда поля,  $\mathbf{n}$  — единичный вектор в направлении распространения электромагнитного импульса,  $g(\tau)$  — безразмерная функция, определяемая конкретной реализацией импульса,  $c$  — скорость света.

Разложим напряженность (1) на плоские волны с частотами  $\omega$  и волновыми векторами  $\mathbf{k} = (\omega/c)\mathbf{n}$ . Тогда рассеяние импульса электромагнитного поля можно представить как рассеяние совокупности плоских волн в плоскую волну с частотой  $\omega'$ , единич-

ным вектором поляризации  $\mathbf{e}'$  и волновым вектором  $\mathbf{k}' = (\omega'/c)\mathbf{n}'$ .

Исходя из описанной выше картины для дифференциальной вероятности рассеяния за все время действия импульса с одновременным возбуждением мишени из состояния  $|i\rangle$  в состояние  $|f\rangle$  можно записать равенство

$$\frac{dW_{fi}}{d\Omega' d\omega'} = \int_0^\infty \frac{d\sigma_{fi}(\mathbf{k}', \mathbf{k})}{d\Omega' d\omega'} \frac{dN_{ph}}{d\omega dS} d\omega, \quad (2)$$

где

$$\begin{aligned} \frac{d\sigma_{fi}(\mathbf{k}', \mathbf{k})}{d\Omega' d\omega'} &= \delta(\omega - \omega' - \omega_{fi}) \times \\ &\times \frac{\omega'^3 \omega}{c^4} |e_l^{*} e_s c_{fi}^{ls}(\mathbf{k}', \mathbf{k})|^2 \end{aligned} \quad (3)$$

— дифференциальное по телесному углу и частоте сечение рассеяния плоской волны на мишени,  $c_{fi}^{ls}(\mathbf{k}', \mathbf{k})$  — тензор рассеяния излучения с учетом возбуждения мишени;

$$\frac{dN_{ph}}{d\omega dS} = \frac{c}{(2\pi)^2} \frac{|\mathbf{E}(\omega)|^2}{\hbar\omega} \quad (4)$$

— число фотонов, составляющих поле электромагнитного импульса, в спектральном интервале  $(\omega, \omega + d\omega)$ , прошедшее через единичную площадь за все время действия излучения,  $\mathbf{E}(\omega)$  — фурье-образ напряженности электрического поля. Подставляя формулу (3) в правую часть равенства (2), приходим к выражению для дифференциальной вероятности фотопроцесса за все время действия поля, которое обобщает полученное ранее выражение [18] на учет возбуждения мишени и недипольности электромагнитного взаимодействия.

Из формул (1)–(4) находим следующее основное равенство:

$$\begin{aligned} \frac{dW_{fi}}{d\Omega' d\omega'} &= \frac{\omega'^3}{c^3} \frac{E_0^2}{4\pi^2\hbar} |g(\omega' + \omega_{fi})|^2 \times \\ &\times |e_l^{*} e_s c_{fi}^{ls}(\mathbf{k}', \mathbf{k})|^2, \quad \mathbf{k} = \frac{\omega' + \omega_{fi}}{c} \mathbf{n}, \end{aligned} \quad (5)$$

где  $g(\omega)$  — фурье-образ функции временной формы импульса  $g(\tau)$ ; по дважды повторяющимся индексам предполагается суммирование.

Формула (5) может быть также получена в рамках последовательного квантовомеханического подхода во втором порядке теории возмущений. Соответствующий вывод приведен в Приложении.

В дальнейшем будем полагать, что тензор рассеяния сводится к скаляру  $c_{fi}^{ls} = \delta_{ls} c_{fi}$  ( $c_{fi} = c_{fi}^{ll}/3$ ),

тогда в правой части равенства (5) появляется скалярное произведение векторов поляризации падающей и рассеянной волн, которое усредняется стандартным образом для неполяризованного рассеянного излучения.

Рассмотрим далее два случая: рассеяние без возбуждения мишени («упругое» рассеяние) и рассеяние с возбуждением мишени в произвольное состояние.

В случае рассеяния без изменения состояния атома в мультиплитативном приближении имеем

$$c_{ii}(\mathbf{k}', \mathbf{k}) \approx \beta_i(\omega') \tilde{F}_{ii}(\mathbf{k}' - \mathbf{k}), \quad (6)$$

где  $\beta_i(\omega')$  — динамическая поляризуемость атома в начальном состоянии,  $\tilde{F}_{ii}(\mathbf{q}) = F_{ii}(\mathbf{q})/Z$  — нормированный на число электронов атомный формфактор. С учетом (6) из формулы (5) находим после суммирования по поляризациям рассеянного фотона следующее выражение:

$$\frac{dW_{ii}}{d\Omega' d\omega'} = \frac{1 - (\mathbf{e} \cdot \mathbf{n}')^2}{4\pi^2} \left( \frac{\omega'}{c} \right)^3 \frac{E_0^2}{\hbar} |g(\omega')|^2 \times \\ \times |\beta_i(\omega')|^2 \tilde{F}_{ii}^2 \left( 2 \frac{\omega'}{c} \sin \frac{\theta}{2} \right). \quad (7)$$

Здесь при записи  $\Delta k$  в аргументе атомного формфактора учтено, что  $\omega' = \omega$ .

Формулу (7) можно переписать через поляризационный заряд атома

$$Z_{pol}(\omega) = \frac{m\omega^2}{e^2} |\beta(\omega)| \quad (8)$$

в виде

$$\frac{dW_{ii}}{d\Omega' d\omega'} = \frac{1 - (\mathbf{e} \cdot \mathbf{n}')^2}{4\pi^2} \left( \frac{e^2}{\hbar c} \right)^3 \frac{I_0}{I_a} \times \\ \times Z_{pol}^2(\omega') \frac{|\omega_a g(\omega')|^2}{\omega'} \tilde{F}_{ii}^2 \left( 2 \frac{\omega'}{c} \sin \frac{\theta}{2} \right), \quad (9)$$

где

$$I_a = c \frac{m^4 e^{10}}{8\pi \hbar^8} \approx 3.5 \cdot 10^{16} \text{ Вт/см}^2, \quad \omega_a = \frac{me^4}{\hbar^3}$$

— атомные единицы интенсивности излучения и частоты,

$$I_0 = c \frac{E_0^2}{8\pi}$$

— средняя интенсивность излучения. В высокочастотном пределе  $\omega \gg \omega_t$  ( $\omega_t$  — характерная собственная частота мишени) поляризационный заряд равен числу электронов в мишени.

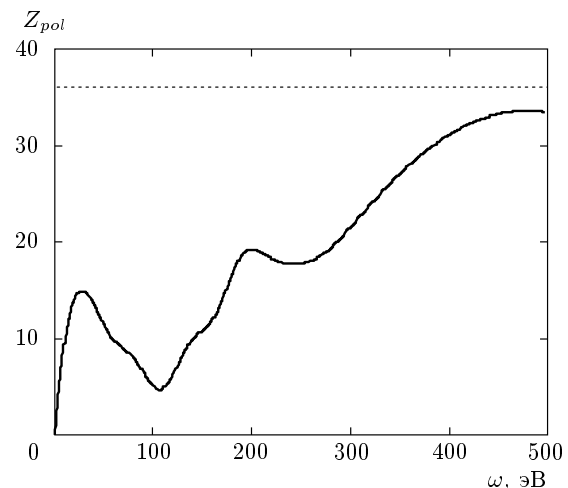


Рис. 1. Поляризационный заряд атома криптона как функция частоты, пунктирной линией показано число электронов в атоме

Частотная зависимость поляризационного заряда атома криптона, вычисленная с помощью экспериментальных данных по фотопоглощению, представлена на рис. 1. Кривая на рис. 1 получена путем расчета мнимой части поляризуемости атома криптона по оптической теореме и восстановления реальной части с помощью соотношения Крамерса–Кронига.

В случае, когда несущая частота импульса  $\omega_c$  близка к одной из собственных частот возбуждения атома в дискретном спектре  $\omega_c \approx \omega_{ri}$  (при этом сила осциллятора соответствующего перехода не равна нулю,  $f_{ri} \neq 0$ ), можно использовать резонансное приближение для поляризуемости, в котором

$$|\beta_i(\omega' \approx \omega_{ri})|^2 \approx \frac{\pi}{2} \left( \frac{e^2}{m\omega'^2} \right)^2 \frac{\omega'}{\gamma_{ri}} f_{ri}^2 \omega' G_{ri}(\omega'), \quad (10)$$

где  $\gamma_{ri}$ ,  $G_{ri}(\omega)$  — ширина линии и форма линии резонансного перехода. Тогда вместо формулы (7) имеем

$$\frac{dW_{ii}(\omega_c \approx \omega_{ri})}{d\Omega' d\omega'} = \frac{1 - (\mathbf{e} \cdot \mathbf{n}')^2}{8\pi} \left( \frac{e^2}{\hbar c} \right)^3 \frac{I_0}{I_a} \times \\ \times \frac{\omega'}{\gamma_{ri}} |\omega_a g(\omega')|^2 f_{ri}^2 G_{ri}(\omega'). \quad (11)$$

При записи равенства (11) учтено, что в рассматриваемом спектральном диапазоне атомный формфактор может быть положен равным единице. Из полученной формулы, в частности, следует резонансное усиление вероятности рассеяния за счет наличия множителя  $\omega'/\gamma_{ri}$ .

Для ультракороткого импульса с несущей частотой в оптическом диапазоне ширина спектра, как правило, существенно больше ширины линии резонансного перехода в атоме, так что спектральная зависимость вероятности рассеяния будет в основном определяться функцией формы линии резонансного перехода  $G_{ri}(\omega')$ . В общем случае на спектр рассеянного импульса будет также влиять функция  $|g(\omega')|^2$ .

Резонансная вероятность (11) может быть обобщена на случай возбуждения атома в процессе рассеяния, если частота рассеянного излучения близка к одной из собственных частот перехода атома из промежуточного состояния в конечное.

Вероятность рассеяния с возбуждением мишени в произвольное состояние (полный спектр рассеяния) получается после суммирования вероятности (5) по всем возможным состояниям  $|f\rangle$ . Рассмотрим полный спектр рассеяния в высокочастотном диапазоне ( $\omega \gg \omega_i$ ), когда справедливо следующее приближенное выражение для тензора рассеяния:

$$c_{fi}^{(hf)}(\mathbf{k}', \mathbf{k}) \approx -\frac{e^2}{m\omega'\omega} F_{fi}(\mathbf{k}' - \mathbf{k}). \quad (12)$$

Подставляя правую часть равенства (12) в формулу (5) и суммируя по всем возможным конечным состояниям, находим следующее выражение для вероятности рассеяния с учетом возбуждения атома:

$$\begin{aligned} \frac{dW_{tot}^{(hf)}}{d\omega'd\Omega'} &= \frac{cE_0^2}{4\pi^2\hbar} [1 - (\mathbf{e} \cdot \mathbf{n}')^2] r_e^2 \times \\ &\times \int_0^\infty |g(\omega)|^2 S_i(\omega' - \omega, \mathbf{k}' - \mathbf{k}) \frac{d\omega}{\omega}, \end{aligned} \quad (13)$$

где

$$\begin{aligned} S_i(\Delta\omega, \Delta\mathbf{k}) &= \frac{1}{2\pi} \times \\ &\times \int_{-\infty}^{\infty} dt e^{-i\Delta\omega t} \langle i | \hat{n}(\Delta\mathbf{k}, t) \hat{n}(-\Delta\mathbf{k}) | i \rangle \end{aligned} \quad (14)$$

— динамический формфактор атома в  $i$ -м состоянии. В простейшем приближении динамический формфактор водородоподобного атома равен

$$S(\Delta\omega, \Delta\mathbf{k}) \approx \delta\left(\Delta\omega + \frac{\hbar}{2m} \Delta\mathbf{k}^2\right). \quad (15)$$

Подставляя правую часть равенства (15) в формулу (13), после интегрирования по частоте  $\omega$  находим

$$\frac{dW_{tot}^{(hf)}}{d\omega'd\Omega'} \approx \frac{2}{\pi} [1 - (\mathbf{e} \cdot \mathbf{n}')^2] \frac{I_0}{\hbar} r_e^2 \frac{|g[\omega(\omega', \theta)]|^2}{\omega(\omega', \theta)}, \quad (16)$$

где

$$\begin{aligned} \omega(\omega', \theta) &= \omega_r + \omega' \cos \theta - \\ &- \omega_r \sqrt{1 - 4 \frac{\omega'}{\omega_r} \sin^2 \frac{\theta}{2} - \left(\frac{\omega'}{\omega_r}\right)^2 \sin^2 \theta}, \\ \omega_r &= \frac{mc^2}{\hbar}. \end{aligned} \quad (17)$$

Для  $\omega' \ll \omega_r$  имеем  $\omega(\omega', \theta) \approx \omega'$ , тогда вместо (16) получаем

$$\frac{dW_{tot}^{(hf)}}{d\omega'd\Omega'} \approx \frac{1 - (\mathbf{e} \cdot \mathbf{n}')^2}{4\pi^2} \left(\frac{e^2}{\hbar c}\right)^3 \frac{I_0}{I_a} \frac{|\omega_a g(\omega')|^2}{\omega'}. \quad (18)$$

Полученное выражение описывает полный спектр рассеяния ультракороткого импульса одноэлектронным атомом в высокочастотном приближении. Оно после интегрирования по углу рассеяния с точностью до члена, пропорционального  $(\omega'/c\omega_a)^2$ , совпадает с формулой (22) из статьи [13], которая была получена в приближении внезапного возмущения.

В высокочастотном пределе, когда  $Z_{pol} \approx Z$ , отношение вероятности «упругого» рассеяния ультракороткого импульса на водородоподобном атоме (9) к полной вероятности (18) равно квадрату нормированного формфактора атома:

$$R^{(hf)}(\omega', \theta) \equiv \frac{dW_{ii}^{(hf)}}{dW_{tot}^{(hf)}} = \tilde{F}_{ii}^2 \left(2 \frac{\omega'}{c} \sin \frac{\theta}{2}\right). \quad (19)$$

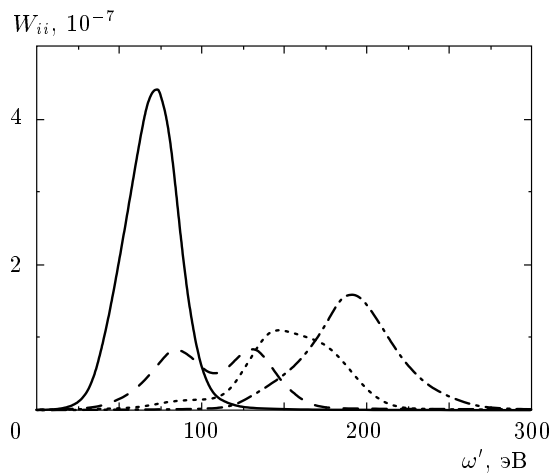
Аналогичная формула была получена в работе [14] в рамках метода внезапных возмущений.

### 3. РЕЗУЛЬТАТЫ И ОБСУЖДЕНИЕ

Рассмотрим рассеяние на атоме ультракороткого электромагнитного импульса гауссовой формы. Функция, определяющая временную зависимость напряженности электрического поля в формуле (1), имеет вид

$$g(\tau) = \exp(-\tau^2/\Delta t^2) \cos(\omega_c \tau + \varphi), \quad (20)$$

где  $\omega_c$  — несущая частота,  $\Delta t$  — временной параметр, пропорциональный длительности импульса,  $\varphi$  — фаза несущей по отношению к огибающей (СЕ-фаза). Параметр  $\Delta t$  удобно выразить через число периодов в импульсе на несущей частоте  $n_c$ :  $\Delta t = 2\sqrt{2\pi} n_c / \omega_c$ . С учетом этого квадрат модуля фурье-образа функции (20), фигурирующий в выражениях для вероятности рассеяния, можно представить в виде



**Рис. 2.** Спектр «упругого» рассеяния одноциклического импульса на атоме криптона для различных значений несущей частоты:  $\hbar\omega_c = 80$  эВ (сплошная кривая), 110 эВ (штриховая), 140 эВ (пунктирная), 180 эВ (штрихпунктирная)

$$|g(\omega)|^2 = 2\pi^2 \left( \frac{n_c}{\omega_c} \right)^2 G_E(\omega, \omega_c, n_c) \times \\ \times [1 + K_{ph}(\omega, \omega_c, n_c) \cos(2\varphi)], \quad (21)$$

где

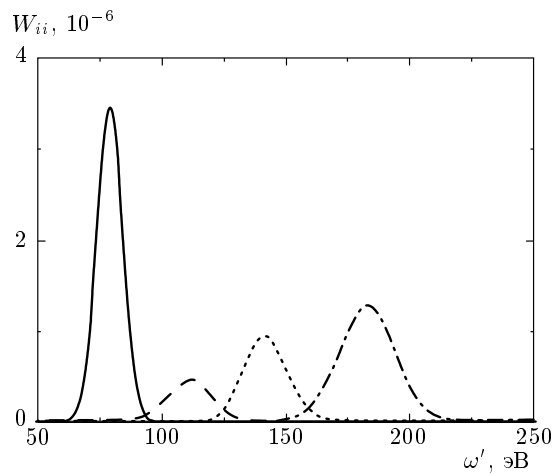
$$G_E(\omega, \omega_c, n_c) = \exp \left[ -4\pi n_c^2 \left( 1 - \frac{\omega}{\omega_c} \right)^2 \right] + \\ + \exp \left[ -4\pi n_c^2 \left( 1 + \frac{\omega}{\omega_c} \right)^2 \right] \quad (22)$$

— спектральная форма импульса и

$$K_{ph}(\omega, \omega_c, n_c) = \operatorname{sch} \left( 8\pi n_c^2 \frac{\omega}{\omega_c} \right) \quad (23)$$

— величина, имеющая смысл параметра фазовой модуляции. Как следует из определения (23), параметр фазовой модуляции имеет заметную величину только для ультракоротких импульсов, когда  $n_c \sim 1$ .

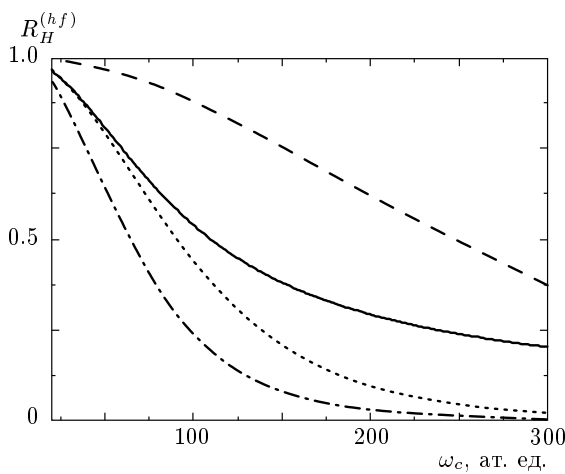
На рис. 2 представлен спектр «упругого» (без возбуждения мишени) рассеяния одноциклического импульса на атоме криптона, рассчитанный по формуле (7) для угла рассеяния  $45^\circ$  и нескольких значений несущей частоты. Как видно из этого рисунка, в случае одноциклического импульса форма спектра рассеянного излучения существенно зависит от значения несущей частоты. Вдали от минимума частотной зависимости поляризационного заряда атома криптона, приходящегося примерно на 107 эВ



**Рис. 3.** То же, что на рис. 2, для трехциклического импульса

(см. рис. 1), спектральные кривые рассеяния имеют симметричную форму с максимумом в центре. Вблизи минимальной частоты ( $\hbar\omega_c = 110$  эВ) в спектре рассеяния возникает провал. Как это следует из формулы (9), описанная эволюция спектра рассеяния объясняется наложением двух частотных зависимостей: спектра ультракороткого импульса (21) и спектра поляризационного заряда атома. Для одноциклического импульса, обладающего значительной спектральной шириной, сравнимой с масштабом спектральных особенностей поляризационного заряда атома криптона, это наложение изменяет форму спектральной кривой рассеяния. Ситуация изменяется при переходе к более длинным импульсам, например, к трехциклическому, спектр рассеяния которого на атоме криптона для различных несущих частот представлен на рис. 3. Видно, что в случае трехциклического импульса спектр рассеянного излучения представляет собой колоколообразную кривую, форма которой определяется спектром падающего импульса (21), а амплитуда зависит от величины поляризационного заряда атома на несущей частоте.

На рис. 4 представлен результат расчета по формуле (19) отношения вероятности «упругого» рассеяния одноциклического импульса на атоме водорода в высокочастотном пределе, просуммированной по всем частотам рассеянного излучения, к аналогичной величине для процесса с произвольным возбуждением атома. Данное отношение рассчитано как функция несущей частоты импульса для различных углов рассеяния. На этом же рисунке сплошной кривой представлен вклад «упругого» процесса, просуммированного



**Рис. 4.** Отношение вероятности «упругого» рассеяния одноциклового импульса на атоме водорода к полной вероятности, рассчитанное в высокочастотном пределе для трех углов рассеяния  $\theta$  и для вероятностей, проинтегрированных по углам (сплошная кривая):  $\theta = 30^\circ$  (штриховая),  $90^\circ$  (пунктирная),  $180^\circ$  (штрихпунктирная)

мированного по углам рассеяния. Видно, что для малых значений несущей частоты электромагнитного импульса рассеяние в основном происходит без возбуждения атома. Для больших углов рассеяния роль упругого канала быстрее уменьшается с ростом частоты. Для интегральной по углам вероятности процесса вклады упругого и неупругого каналов становятся одинаковыми при несущей частоте, приблизительно равной 112 ат. ед., что соответствует энергии фотона около 3 кэВ.

#### 4. ЗАКЛЮЧЕНИЕ

Во втором порядке теории возмущений получено выражение для полной (за все время действия электромагнитного поля) спектрально-угловой вероятности рассеяния ультракороткого импульса на атомной частице. Выведенная формула описывает рассеяние в широком спектральном диапазоне и учитывает возбуждение мишени и недипольность электромагнитного взаимодействия. В высокочастотном пределе спектрально-угловое распределение рассеянного излучения выражается через атомный формфактор, а в резонансном случае — через силу осциллятора и спектральную форму линии резонансного перехода. Вероятность «упругого» канала (без возбуждения мишени) определяется динамической по-

ляризуемостью или поляризационным зарядом атома.

С помощью полученных формул проанализировано рассеяние ультракоротких импульсов гауссовой формы на атоме криптона и атоме водорода. В частности показано, что в случае одноциклового импульса форма спектра рассеянного на атоме криптона излучения зависит от несущей частоты и динамической поляризуемости атома. Так, на несущей частоте вблизи минимума частотной зависимости поляризационного заряда в спектре рассеянного излучения возникает провал. Для более длинных импульсов спектр рассеянного излучения имеет гауссову форму, а максимальное значение вероятности процесса определяется величиной поляризуемости мишени на несущей частоте.

В высокочастотном приближении определен относительный вклад «упругого» канала в вероятность рассеяния одноциклового импульса на атоме водорода для различных углов рассеяния и для интегральных по углу вероятностей. Показано, что этот вклад равен квадрату атомного формфактора и уменьшается с ростом несущей частоты и угла рассеяния.

Полученные формулы могут быть полезны при анализе распространения ультракоротких импульсов в газовой среде.

Работа выполнена при финансовой поддержке РФФИ (гранты №№ 07-09-00165, 10-02-01095).

#### ПРИЛОЖЕНИЕ

Пользуясь правилами диаграммной техники, для амплитуды спонтанного рассеяния электромагнитного импульса в плоскую волну  $\{\mathbf{k}', \mathbf{e}'\}$  с возбуждением атома из состояния  $|i\rangle$  в состояние  $|f\rangle$  после интегрирования по времени можно получить следующее выражение:

$$M_{fi} = \frac{1}{\hbar} \left\{ \langle f | \hat{V}_{1'0} \mathfrak{J}(E_f + \hbar\omega') \hat{V}(\omega' + \omega_{fi}) | i \rangle + \langle f | \hat{V}(\omega' + \omega_{fi}) \mathfrak{J}(E_f - \hbar\omega') \hat{V}_{1'0} | i \rangle \right\}, \quad (\text{A.1})$$

где  $\mathfrak{J}(E)$  — функция Грина атома,  $\hat{V}(\omega) = -\hat{\mathbf{d}}\mathbf{E}(\omega)$  — временной фурье-образ оператора возмущения атома электромагнитным импульсом,  $\mathbf{E}(\omega) = \mathbf{E}_0 g(\omega) \times \exp(i\mathbf{k} \cdot \mathbf{r})$  — фурье-образ напряженности электрического поля в импульсе (1),  $V_{1'0} = -\hat{\mathbf{d}}\mathbf{E}_{1'0}$  — матричный элемент, отвечающий спонтанному излучению фотона,  $\mathbf{E}_{1'0} = \mathbf{e}'^* \sqrt{2\pi\hbar\omega'/V} \exp(-i\mathbf{k}' \cdot \mathbf{r})$  — мат-

ричный элемент оператора квантованного электрического поля в шредингеровском представлении (без временной части),  $V$  — объем квантования. Подставляя приведенные выше равенства в формулу (A.1), находим

$$M_{fi} = \frac{1}{\hbar} \sqrt{\frac{2\pi\hbar\omega'}{V}} E_0 g(\omega' + \omega_{fi}) e'^*_l e_s c_{fi}^{ls}(\mathbf{k}', \mathbf{k}), \quad (\text{A.2})$$

где  $\mathbf{k} = \mathbf{n}(\omega' + \omega_{fi})/c$ ,  $c_{fi}^{ls}(\mathbf{k}', \mathbf{k})$  — тензор рассеяния электромагнитного поля на атоме с учетом его возбуждения. Согласно известным квантовомеханическим правилам для вероятности рассматриваемого процесса имеем

$$dW_{fi} = |M_{fi}|^2 d\Gamma', \quad (\text{A.3})$$

где

$$d\Gamma' = V \frac{\omega'^2}{8\pi^3 c^3} d\omega' d\Omega_{\mathbf{k}'} \quad (\text{A.4})$$

— статистический вес состояния электромагнитного поля, отвечающего рассеянному фотону. Подставляя выражения (A.2), (A.4) в формулу (A.3), находим для спектрально-угловой вероятности процесса следующее равенство:

$$\frac{dW_{fi}}{d\omega' d\Omega'} = \frac{\omega'^3}{4\pi^2 c^3 \hbar} E_0^2 |g(\omega' + \omega_{fi})|^2 \times \\ \times |e'^*_l e_s c_{fi}^{ls}(\mathbf{k}', \mathbf{k})|^2. \quad (\text{A.5})$$

Полученное выражение совпадает с формулой (5).

## ЛИТЕРАТУРА

1. F. Krausz and M. Ivanov, Rev. Mod. Phys. **81**, 163 (2009).
2. E. Goulielmakis, M. Schultze, M. Hofstetter et al., Science **320**, 1614 (2008).
3. T. Wittmann, B. Horvath, W. Helml et al., Nature Phys. **5**, 357 (2009).
4. U. Morgner, Nature Photonics **4**, 14 (2010).
5. P. K. Mandal and A. Speck, Phys. Rev. A **81**, 013401 (2010).
6. D. B. Miloševiæ, G. G. Paulus, and W. Becker, Phys. Rev. A **71**, 061404(R) (2005).
7. A. Apolonski, P. Dombi, G. G. Paulus et al., Phys. Rev. Lett. **92**, 073902 (2004).
8. I. Znakovskaya, P. von den Hoff, and S. Zherebtsov, Phys. Rev. Lett. **103**, 103002 (2009).
9. N. Doslic, Phys. Rev. A **74**, 013402 (2006).
10. N. V. Bordyug and V. P. Krainov, Las. Phys. Lett. **4**, 418 (2007).
11. М. Н. Кривогуз, О. М. Саркисов, С. Я. Уманский, КЭ **35**, 653 (2005).
12. M. G. Arustamyan and V. A. Astapenko, Laser Phys. **18**, 768 (2008).
13. В. И. Матвеев, ЖЭТФ **124**, 1023 (2003).
14. В. И. Матвеев, ЖКТФ **73**, 17 (2003).
15. М. К. Ессеев, В. И. Матвеев, Н. В. Абикулова, Опт. и спектр. **106**, 231 (2009).
16. А. М. Дыхне, Г. Л. Юдин, УФН **138**, 377 (1977).
17. P. A. Golovinskii and E. M. Mikhailov, Laser Phys. Lett. **3**, 259 (2006).
18. V. A. Astapenko, Phys. Lett. A **374**, 1585 (2010).